

Πρακτικά	δου	Συνεδρίου	Μάιος	1992
Δελτ. Ελλ. Γεωλ. Εταιρ.	Τομ.	XVIII/1	σελ.	379-395
Bull. Geol. Soc. Greece	Vol.		pag.	Aθήνα 1993 Athens

Η ΝΕΟΤΕΚΤΟΝΙΚΗ ΔΟΜΗ ΤΟΥ ΑΝΑΤΟΛΙΚΟΥ ΠΕΡΙΘΩΡΙΟΥ ΤΟΥ  
ΒΥΘΙΣΜΑΤΟΣ ΑΞΙΟΥ-ΘΕΡΜΑΙΚΟΥ ΣΤΗΝ ΠΕΡΙΟΧΗ ΔΥΤΙΚΗΣ  
ΧΑΛΚΙΔΙΚΗΣ (Κ.ΜΑΚΕΔΟΝΙΑ)

Δ.ΜΟΥΝΤΡΑΚΗΣ, Γ.ΣΥΡΙΔΗΣ, Λ.ΠΟΛΥΜΕΝΑΚΟΣ, Σ.ΠΑΥΛΙΔΗΣ\*

ΠΕΡΙΑΠΤΗΣ

Στην εργασία αυτή γίνεται προσπάθεια να ερμηνευθεί η νεοτεκτονική εξέλιξη στην περιοχή της Δυτικής Χαλκιδικής, η οποία αντιπροσωπεύει το ανατολικό περιθώριο του μεγάλου νεοτεκτονικού βυθίσματος Αξιού-Θερμαϊκού. Δεδομένα μορφοτεκτονικής, δορυφορικών εικόνων, λιθοστρωματογραφίας, νεογενών τεταρτογενών αποθέσεων, κινηματικής των ρηγμάτων, καθώς επίσης και ορισμένα δημοσιευμένα παλαιογεωγραφικά και γεωφυσικά αποτελέσματα χρησιμοποιήθηκαν για την εξαγωγή των συμπερασμάτων της νεοτεκτονικής εξέλιξης.

Η Δυτική Χαλκιδική αποτελεί ένα ανεξάρτητο τεκτονικό τέμαχος με μικρή σχετικά εσωτερική παραμόρφωση, που οριοθετείται από μεγάλες τεκτονικές δομές και συγκεκριμένα από τα δεξιόστροφα ρήγματα οριζόντιας μετατόπισης της τάφρου του Βορείου Αιγαίου διεύθυνσης ΑΒΑ-ΔΝΔ, τα κραστικά ρήγματα του Θερμαϊκού κόλπου ΒΔ-ΝΑ διεύθυνσης, το σημαντικό ρήγμα του Ανθεμούντα με διεύθυνση Α-Δ που είναι πλάγιο κανονικό ρήγμα με αριστερόστροφη συνιστώσα, τη δεξιόστροφη τεκτονική δομή οριζόντιας μετατόπισης της Ολύνθου, διεύθυνσης ΒΒΑ-ΝΝΔ, και τέλος το σύστημα μικρότερων ρηγμάτων του Τορωναίου Κόλπου. Εφελκυσμός διεύθυνσης ΒΑ-ΝΔ που επηρεάζει τα προ-Νεογενή και ανω-μειοναινικά-πλειοναινικά ιζήματα ανιχνεύθηκε από τη μελέτη διακλάσεων και ρηγμάτων με ασθενικές γραμμώσεις τεκτονικής ολίσθησης. Ο ενεργός εφελκυσμός (μέσου πλειστοκαίνου σήμερα) με διεύθυνση Β-Ν και τα αντίστοιχα ρήγματα που προκάλεσε αυτός επηρεάζουν έντονα το μορφοανάγλυφο. Επίσης μέσα σ' αυτή τη νεοτεκτονική φάση δρουν σημαντικά ρήγματα οριζόντιας μετατόπισης. Παράλληλα επιχειρείται από την τεκτονοστρωματογραφική μελέτη η χρονολόγηση μερικών ευδιάκριτων τεκτονικών γεγονότων στο μέσο Μειοναίνο, Τουρδλίο, Ρουσίνιο και Μέσο Πλειστόναινο.

ABSTRACT

The investigation of the neotectonic evolution of the western Chalkidiki area, representing the eastern margin of the large neotectonic graben of Axios river Thermaikos gulf, has been attempted through the study of morphotectonics, tectonostratigraphy, fault kinematics, and photolineaments, both from satellite images and aerialphotos. Recent data concerning the Neogene Quaternary lithostratigraphy of the area, as well as some published results on the

\* Τομέας Γεωλογίας - Φυσ. Γεωγραφίας, ΑΠΘ, 540 06 Θεσσαλονίκη

palaeogeography and geophysics of the broader region have also been taken into account.

The western Chalkidiki constitutes a weak deformed block bounded by great structures i.e. the North Aegean Trough (ENE-WSW trending dextral strike-slip faults), the NW-SE Thermaikos major faults, the important active fault of Anthemountas (E-W normal to sinistral oblique-slip structure), Olynthos (dextral strike-slip fault (NNE-SSW) and the smaller fault zone Toronaeos gulf. A NE-SW extension affecting pro-Neogene and late Miocene-Pliocene sediments (post Oligocene? - Pliocene) has been weakly detected using fault slip and joints data. The middle Pleistocene (?) - active extension trending N-S affect the morphology, while this phase accompanied by significant strike-slip movements. Dating of some distinct tectonic events to Middle Miocene, Turolian, Ruscinian, and Middle Pleistocene are also presented.

### ΕΙΣΑΓΩΓΗ

Στο στάδιο αυτό μελετήθηκε η Δυτική Χαλκιδική που περιλαμβάνει το δυτικό κορμό της Χαλκιδικής και τη χερσόνησο της Κασσάνδρας και γεωλογικά εντάσσεται στο ευρύτερο βύθισμα Αξιού-Θερμαϊκού.

Επειδή ολόκληρη σχεδόν η Δυτική Χαλκιδική καλύπτεται από Νεογενή-Τεταρτογενή ιζήματα, παρουσιάζει ιδιαίτερο ενδιαφέρον η νεοτεκτονική της δομή στα πλαίσια της μελέτης της συνολικής νεοτεκτονικής εξέλιξης του βορειοελλαδικού χώρου. Και είναι γνωστό ότι η ευρύτερη νεοτεκτονική δομή του Βορειοελλαδικού χώρου (σχ.1) συνθέτεται από την τάφρο του βορείου Αιγαίου, τα τεκτονικά βυθίσματα Αξιού-Θερμαϊκού, Μυγδονίας, Στρυμώνα και Καβάλας-Ξάνθης καθώς και τη Σερβομακεδονική γεωλογική μάζα στην οποία έχει αποδοθεί ένας ιδιαίτερος νεοτεκτονικός ρόλος με τεκτονικά, γεωφυσικά και σεισμολογικά δεδομένα (Papazachos et al. 1979, Mountrakis et al. 1983).

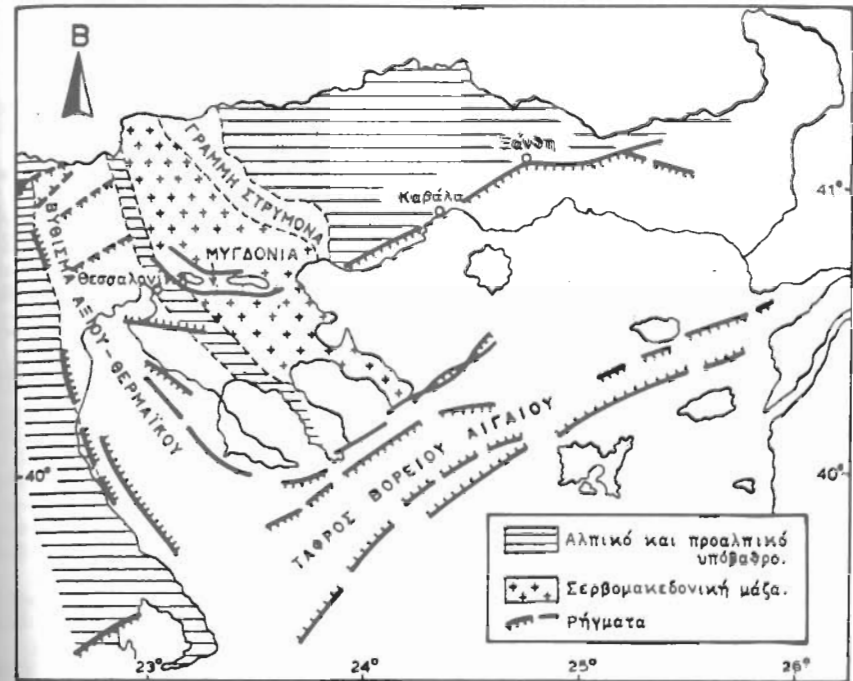
Πλαίσιο γίνεται πληρέστερη προσέγγιση του προβλήματος της νεοτεκτονικής δομής και σύγχρονης παραμόρφωσης της Δυτικής Χαλκιδικής, εκτός από την επιφανειακή τεκτονική μελέτη των ρηγμάτων, σημαντικό μέρος της μελέτης αυτής αναφέρεται στη μορφοτεκτονική ανάλυση με συνδυασμό στοιχείων φωτογεωλογίας, λιθοστρωματογραφίας, παλαιογεωγραφίας και δημοσιευμένων δεδομένων γεωφυσικών μελετών.

### ΓΕΝΙΚΗ ΓΕΩΛΟΓΙΚΗ ΔΟΜΗ ΤΗΣ ΔΥΤΙΚΗΣ ΧΑΛΚΙΔΙΚΗΣ

Από την άποψη της γεωτεκτονικής τοποθέτησης του αλπικού της υποβάθρου η περιοχή αποτελεί τμήμα της ζώνης Αξιού. Οι χαρακτηριστικές ενότητες της ζώνης αυτής αποτελούνται κυρίως από ημιμεταμορφωμένα αλπικά ακεάνια ιζήματα, οφειδλιθους, ανθρακικά ιζήματα ηπειρωτικού πειθαρίου Μεσοζωϊκής ηλικίας και ορισμένα δέινα πυριγενή πετρώματα (γρανιτικά και ηφαιστειακά) επίσης αλπικής ηλικίας. Ολα τα παραπάνω πετρώματα καλύπτονται στη Δυτική Χαλκιδική από Νεογενείς και Τεταρτογενείς αποθέσεις σημαντικού πάχους. Παρατηρούνται μόνο σποραδικές εμφανίσεις Μεσοζωϊκών ασβεστολίθων στη ΒΔ Χαλκιδική (όρος Κατσίνα, λόφοι Μύτη, Κορυφή) και στην Ν. Κασσάνδρα (ΙΓΕΥ 1969a,b, ΙΓΜΕ 1978).

Παλαιογενή μολασσικού τύπου ιζήματα εμφανίζονται επιφανειακά μόνο στο νότιο άκρο της Κασσάνδρας (Γαρδίνας 1934, ΙΓΕΥ 1969), πιο στενές τα ίδια δομής διαπλασίας τους κάτω από τα νεογενή-τεταρτογενή ιζήματα θα πρέπει να είναι σημαντική. Στοιχεία από βαθειές γεωτρήσεις της Δημόσιας Επιχείρησης Πετρελαίου επιβεβαιώνουν αυτή την άποψη.

Το νεογενές-τεταρτογενές παχύ κάλυμμα της Δυτικής Χαλκιδικής αποτελείται κυρίως από χαλαρά ήλαστικά ιζήματα, προϊόντα ποικίλων αποθετικών παλαιοπεριβαλλόντων, (χερσοποτάμιες, ποταμοί Βιστολίτης Θεόφραστος) - Τμήμα Ρευμάτων ΑΠΘ από ερυθροστρώματα οξειδωτικού χερσαίου περιβάλλοντος



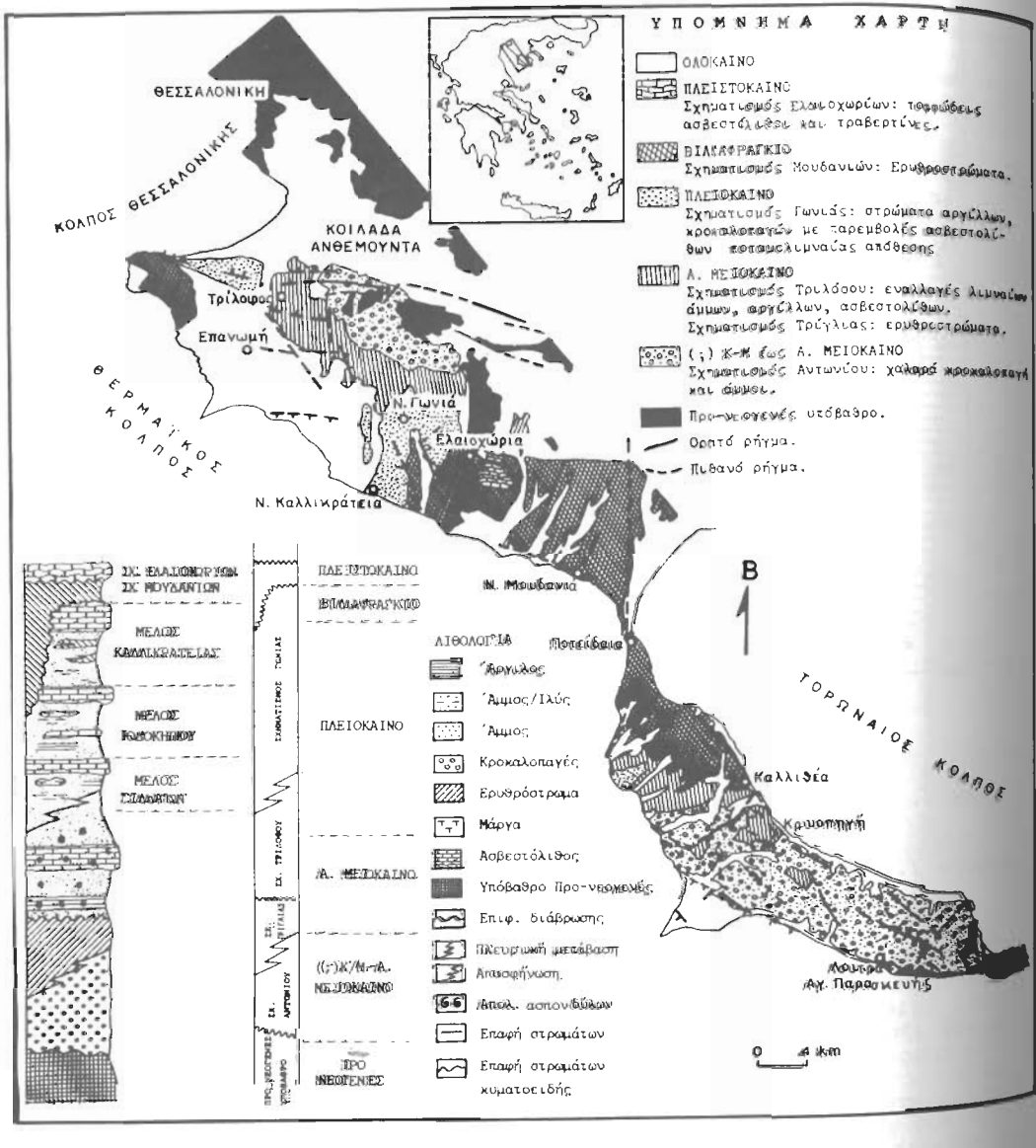
Σχήμα 1. Χάρτης με τις κύριες περιοχές της νεοτεκτονικής δομής του Βορειοελλαδικού χώρου.

Figure 1. Sketch-map showing the main neotectonic features of the Northern Greece region.

λιμνο-δελταϊκές, λιμναίες και χερσαίες αποθέσεις) που σχηματίσθηκαν κατά την ταφρογένεση στο χώρο του Βορείου Αιγαίου (Lalehos & Savoyat 1979, Lalechos 1986, Ψιλοβίκος et al., 1988). Τα ιζήματα εμφανίζονται ελαφρώς κεκλιμένα (μέχρι 5°) είτε προς τα ΒΒΔ (ΒΔ Χαλκιδική) είτε προς τα ΒΒΔ (Κασσάνδρα) και ελέγχουν σε μεγάλο βαθμό τη μορφολογία της περιοχής (σχ. 2). Τα ιζήματα αυτά θεωρείται ότι αποτέλησαν στις ανατολικές παρυφές μιας παλαιολεκάνης που δημιουργήθηκε στον ευρύτερο χώρο Αξιού-Θερμαϊκού κατά το Νεογενές, όπου η διάταξη και οι κλίσεις των ιζημάτων σε μεγάλο ακολουθούν τη μορφολογία της. Η μελέτη των ιζημάτων αυτών από λιθο-χρονο- βιοστρωματοφασική άποψη οδήγησε (Συρίδης, 1990) στο διαχωρισμό τους στους παρακάτω σχηματισμούς από τον παλαιότερο προς το νεότερο (σχ. 2).

Σχηματισμός Αντωνίου (Κάτω-Μέσο-ΒΑΛΛΕΖΙΟ) αποτελείται από εναλλαγές χαλαρών ιροκαλοπαγών και λευκόστεφρων άμμων. Η διαπιστώση της υπάρχεις παλαιορευμάτων οδήγησε στην υπόθεση ότι η κύρια μεταφορά των ιζημάτων έγινε στη μεν Δυτική Χαλκιδική από ΒΔ στη δε Κασσάνδρα από τα Νότια.

Σχηματισμός Τρίγλιας ('Ανω Μειόνατο, Βαλλέζιο-Κατώτερο Τουρόπολης) από ερυθροστρώματα οξειδωτικού χερσαίου περιβάλλοντος



Σχήμα 2. Γεωλογικός χάρτης της περιοχής έρευνας με την αντίστοιχη συνθετική λιθοστρωματογραφική στήλη των Νεογενών-Τεταρτογενών ιζημάτων (Στρωματογραφικά δεδομένα από Συρίδη 1990).

Figure 2. Geological map of the Western Chalkidiki and lithostigraphic section of the Neogene-Quaternary sediments (Stratigraphic data after Syrides 1990) Φιλιού Θεοφραστού "Θεόφραστος" - Τμήμα Γεωλογίας ΑΠΘ.

σπόθεσης με επικράτηση πεδολογικών διεργασιών. Υπέρκειται του σχηματισμού Αντωνίου με βαθμιαία μετάβαση και υπόκειται του σχηματισμού τριλόφου από τον οποίο διαχωρίζεται με επιφένεια διεργώσης. Τα ιζημάτα αυτά συγχέονται με τα νεώτερα ερυθροστρώματα του Σχηματισμού Μουδανιών, που είναι αμέσως υπερκείμενα.

**Σχηματισμός Τριλόφου** (Ανώτερο Μειόνατνο, Φουρόλιο "Πόντιο"). Πρόκειται για απολιθωματοφόρα ιζημάτα (άμμοι, άργιλοι, ασβεστόλιθοι) με λεπτές παράλληλες στρώσεις. Δείχνουν εκτεταμένο λιμναϊκό περιβάλλον απόθεσης, στα περιθώρια του οποίου παρατηρείται τροφόδοση/αποταμοχειμάρρωση υδρανίων. Ένα ανθεκτικό στρώμα απολιθωματοφόρων ασβεστολίθων που εμφανίζεται στα ανώτερα τμήματα του Σχηματισμού, σε συνδυασμό με τη μικρή κλίση δημιουργεί εκτεταμένη ευεστά από τον Τρίλοφο έως την Κρήνη.

**Σχηματισμός Γωνιάς** (Πλειστόνιο, Ρομενίο). Εναλλαγές φαμίλιας, αργίλων, κροκαλοπαγών, μαργάρης και μαζωδών ασβεστόλιθων. Πέριξ είναι μεγάλες ποσότητες ιριδιαλών πραστιτίτων. Η παρεμβολή τριών εκτεταμένων στρωμάτων μαζωδών ασβεστόλιθων δημιουργεί τρεις επαλληλες questa κατ' υποδιαιρεί το Σχηματισμό σε τρία μέλη: Σιλάτων (κατώτερο), Ρεδόνητρου και Κολλιμαράτειας (ανώτερο) (σχ. 2). Μετρήσεις παλαιοθεμάτων σε συνδυασμό με την πετρογραφική σύσταση των ιριδιαλών των πραστιτίτων δείχνουν ποταμοχειμάρρεια μεταφορά από τα BD προς τα NA, τοπειστικά της Αλμωπίας. Τα ιζημάτα υποδηλώνουν αμφέπικτη ποταμολιμνατικό περιβάλλον με μεγάλες διεργασίες και διαφοροποιήσεις.

**Σχηματισμός Μουδανιών** ('Ανω Πλειστανο - K/M. Πλειστόνιο, Βιλλαμαράτιο). Πρόκειται για χερσοποτάμια ερυθροστρώματα με εναλλαγές φακών ιριδιαλών πραστιτίτων και αργίλων.

**Σχηματισμός Ελαιοχωρίων** (Πλειστόνιο-Σήμερα). Αποτελείται από τορφώδεις και τραβερτίνοις ασβεστολίθους σε μη δυνητόχρηστα στρώματα. Η απόθεση του έγινε διαχρονικά σε μικρό ελαττωματικό, αφεδρή ψηκτροπεριβάλλοντα στις νότιες παρυφές του βουνού Κατσίνα. Η τροφοδοσία γινόταν από τα εκφορτιζόμενα προς Νότο και πλεύσια σε ανθρακικά άλατα νερά των καρστικών υδροφόρων στρωμάτων της Κατσίνας.

#### ΤΕΚΤΟΝΟ-ΣΤΡΩΜΑΤΟΓΡΑΦΙΚΗ ΕΞΑΙΓΗ ΤΟΥ ΒΥΘΙΣΜΑΤΟΣ ΑΞΙΟΥ-ΘΕΡΜΑΙΚΟΥ

Η στρωματογραφική διαδοχή των Νεογενών και Τεταρτογενών ιζημάτων σε συνδυασμό με τους λιθολογικούς και ιζηματολογικούς χαρακτηριστικούς τους, οδηγεί σε ορισμένες σκέψεις σχετικά με την αλληλεπίδραση τεκτονικής και ιζηματογένεσης της περιοχής.

"Όλοι οι παραπάνω σχηματισμοί στην Επιρρά εμφανίζουν συνιλιτικό πάχος 500 μ περίπου, ενώ στη θαλάσσια περιοχή του Θερμαϊκού Κόλπου πιστεύεται ότι το πάχος τους φθάνει τα 3 km (Ialechos & Savoyat 1979), ενώ σε ορισμένες περιπτώσεις το αλπικό υπόβαθρο βρίσκεται σε βάθος 6 ως 8 km (περιοχή Ποσειδίου) και επομένως το τάχος των υψών ιζημάτων μπορεί να είναι ανάλογο (Kiriakidis 1984).

Η τεκτονική δράση που διαμόρφωσε το Νεογενές βύθισμα Αξιού-Θερμαϊκού Κόλπου πρωτίστεος επιτάχυνση των διεργασιών διάβρωσής στα περιθώρια και μεταφοράς κλαστικών υλικών στη λευκάνη. Ο σχηματισμός Αντωνίου αντιστοιχεί σ' αυτά τα κλαστικά υλικά και η ηλικία των (Κάτω/Μεσο Μειόνατνο-'Ανω Μειόνατνο) επιτρέπει τη χρονολόγηση, αντού του τεκτονικού γεγονότος στο Πρώιμο - μέριο Μειόνατνο. Η σταδιακή προς τα δώμα μείωση του μεγέθους του υλικού φανερώνει βαθμιαία εξαγόμενη στρωματογραφική (Σχηματισμός Τρίγλιας) σε χερσαίο περιβάλλον.

Κατά το ανώτατο Μειόνατνο (Τουρόλιο) αναφέρεται ότι υφαλμυρά νερά βιξεινικής προέλευσης εισέρχονται στη λευκάνη Αξιού-Θερμαϊκού (Συρίδης, 1990). Με την "επίκλιση" αυτή έγινε απόθεση απολιθωματοφόρων καρυτών (Σχηματισμός Τριλόφου) επάνω στα ερυθροστρώματα του Σχηματισμού ΑΠΘ.

ρειων διεργασιών και κατά το Πλεισκαίνο (Ρουσίνιο) αυξάνει η προσφορά κλαστικού υλικού, εξαφανίζεται το λιμναίο περιβάλλον και παρατηρείται μετάβαση σε ποταμοχειμάρρειες αποθέσεις και ποταμολιμναία-ελώδη μισθωτούς και τεκτονικής δράσης θα πρέπει να ήταν το γενεσιούργο αίτιο αυτής της απόδεσης. Η παρεμβολή όμως στα ιζήματα του Σχηματισμού Γωνιάς τριών στρωμάτων μαζώδους λιμναίου ασβεστολίθου με πολύ μεγάλη πλευρική εξάπλωση δείχνει τη δημιουργία αντίστοιχων εκτεταμένων λιμναίων παλαιο-περιβαλλόντων, αποτέλεσμα πιθανότατα ισάρι θυμών περιόδων τεκτονικής ηρεμίας.

Κατά το Α. Πλεισκαίνο-Κ. Πλειστόκαινο (Βιλλαφράγκιο) αποτίθενται τα ερυθροστρώματα του σχηματισμού Μουδανιών. Η τοποθέτησή τους κατά θέσεις πάνω σε διαφορετικούς σχηματισμούς (Γωνιάς, Τριλόφου, Τρίγλιας) φανερώνει μια φάση διάβρωσης και τεκτονικής δράσης μετά το Ρουσίνιο και πριν το Βιλλαφράγκιο. Ενώ η τεκτονική δράση που δημιουργήσει την τάφρο του Ανθεμούντα με θερμές πηγές και τραβερτίνες και τέμνει τα Βιλλαφράγκια ιζήματα του σχηματισμού Μουδανιών τοποθετείται στο Μέσο Πλειστόκαινο.

#### ΒΑΣΙΚΑ ΓΕΩΜΟΡΦΟΛΟΓΙΚΑ ΣΤΟΙΧΕΙΑ ΤΗΣ Δ. ΧΑΛΚΙΔΙΚΗΣ. ΜΟΡΦΟΤΕΚΤΟΝΙΚΕΣ ΠΑΡΑΤΗΡΗΣΕΙΣ

Η περιοχή κυριαρχείται από χαμηλός ανάγλυφο με μικρές παράκτιες κοιλάδες και λόφους. Ανάλογα με τη μορφολογία και το υδρογραφικό δίκτυο της περιοχής διακρίνουμε τις παρακάτω υπο-περιοχές (σχ. 3): 1. Κοιλάδα Ανθεμούντα, 2. Περιοχή χαμηλού λοφώδους αναγλύφου (Από Επανωμή και Αγίο Αντώνιο μέχρι Ποτίδαια), 3. Βρέσια Κασσάνδρα Ποτίδαια-Κασσανδρεία), 4. Νότια Κασσάνδρα (Κασσανδρεία-Παλιούρι), 5. Θαλάσσιος χώρος.

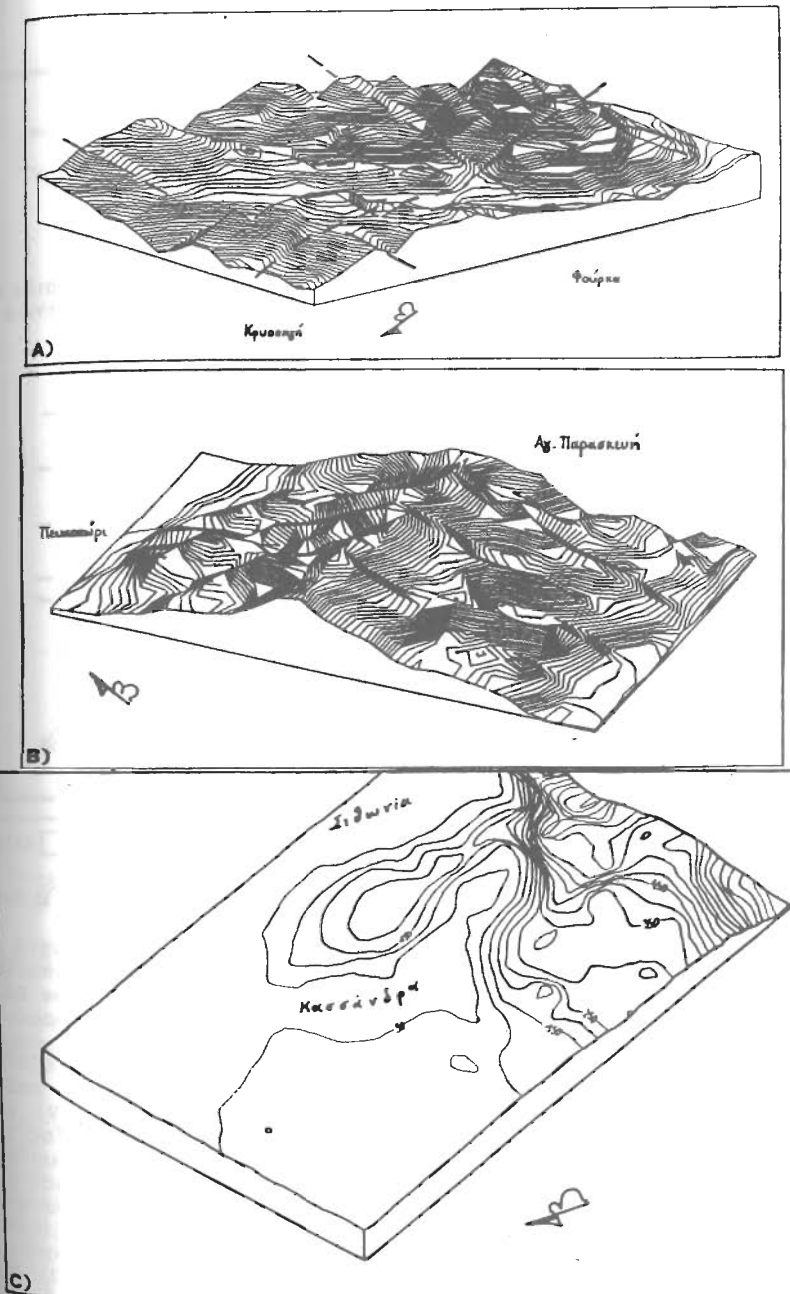
Στη συνέχεια δίδονται τα βασικά γεωμορφολογικά στοιχεία των υποπεριοχών αυτών και οι σημαντικότερες μορφοτεκτονικές μας παρατηρήσεις.

1. **Κοιλάδα Ανθεμούντα.** Επίμηκες (Α-Δ) πρόσφατο τεκτονικό βύθισμα με έντονους ρυθμούς διάβρωσης στη νότια πλευρά του και επένταση του υδροκρίτη προς Νότο, λόγω της παρουσίας χαλαρών ιζημάτων των σχηματισμών Αντώνιου και Τρίγλιας (Sotiriadis, 1974). Παρατηρείται η κλιμακωτή, σε τρία επίπεδα, μετάπτωση προς Βορρά του αναγλύφου μεταξύ Ταγαράδων-Γαλαρινού (σχ. 3, περιοχή Α).

2. **Περιοχή χαμηλού λοφώδους αναγλύφου.** Από Επανωμή μέχρι Ποτίδαια: χαρακτηρίζεται από σημαντική απορροή έχει, σε ορισμένες τοποθεσίες, δημιουργήσει έντονη χαραδρωτική διάβρωση. Στον άξονα Ταγαράδες-Γαλαρινός παρατηρείται η κλιμακωτή μετάπτωση του αναγλύφου προς τα βρέσια, σε τρία επίπεδα και εκτροπή κοιλάδων του υδρογραφικού δικτύου. Στα νότια της Επανωμής παρατηρείται χαρακτηριστική εκτροπή δύο ρεμάτων από Β-Ν σε ΔΝΔ-ΑΒΑ διεύθυνση (σχ. 3, περιοχή Β).

Νοτιοανατολινά του χωριού Ν. Γωνιά παρατηρείται τάση εκτροπής μικρών ρεμάτων (διεύθ. Β-Ν) κατά μήκος της ΒΑ-ΝΔ διεύθυνσης και σχηματισμό "σκαλοπατιών" προς τα ΝΔ (σχ. 3, Περιοχή Γ). Στις περιοχές Ν. Καλλιμαράτειας-Ν. Μουδανιών παρατηρούνται επιμήκεις κοιλάδες με διεύθυνση Β-Ν οι οποίες πιθανότατα ξόρνιται από παλαιότερο ιώνιο εξέλιξης σε οξεία γωνία από ρέματα με διεύθυνση ΒΔ-ΝΑ (σχ. 3 περιοχή Β). Στην περιοχή Ν. Τενέδου-Σημάντρων παρατηρείται μια ζώνη έντονης χαραδρωτικής διάβρωσης των ερυθροστρωμάτων βρέσια της Ολύνθου, σε ομαλό ανάγλυφο με μικρές ανοιχτές κοιλάδες προς τα νότια όπου κυριαρχούν αλλούβιακές αποθέσεις (σχ. 4). Η περιοχή δίνει την ειδόνα βυθίσματος που οριοθετείται προς τα Δ επίσης από ένα άξονα έντονης χαραδρωτικής διάβρωσης, διεύθυνσης Β-Ν, προς τα Α από την κοίτη του ρέματος, προς Ν από μια μικρή λοφοσειρά, διεύθ. ΒΔ-ΝΑ και τέλος προς Β, από βαθμιαία

Φυσική Βιβλιοθήκη "Θεόφραστος" - Τμήμα Γεωλογίας, Α.Π.Θ.

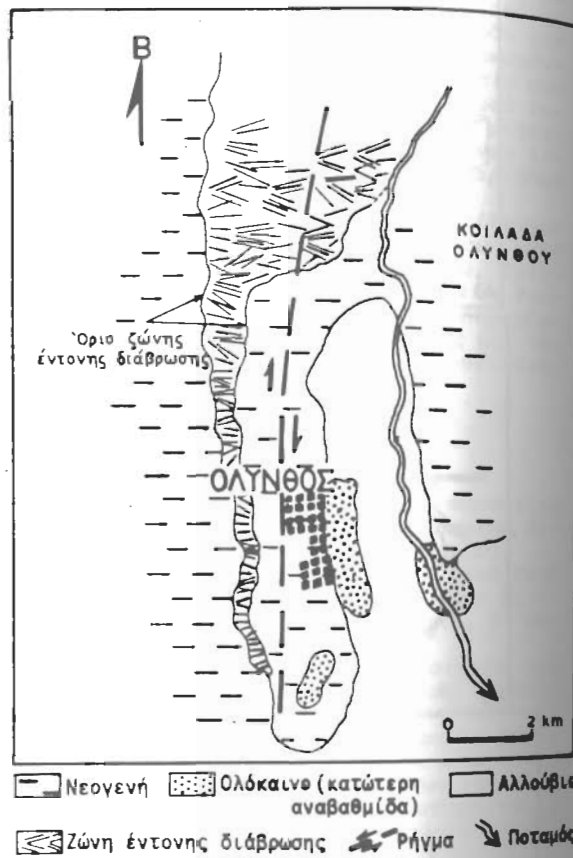


Σχήμα 5. Τοπογραφικά στερεοδιαγράμματα των περιοχών (Α) Κρυοπήγης και (Β) Αγίας Παρασκευής Κασσάνδρας, όπου τονίζονται με στικτές γραμμές τα πρανή σε θέσεις πιθανών ρηγμάτων. (C) Ανάλογο σχήμα του ευρύτερου υποθαλάσσιου χώρου.

Topographic block diagrams of the (A) Kryopege and (B) Agia Paraskevi areas of Kassandra peninsula. Dashed lines show the scarps of possible faults. (C) Similar diagram of the submarine relief.

**Σχήμα 4.** Σκαρίφημα της λεκάνης της Ολύνθου.  
Μορφοτεκτονικά γυναικίσματα του αντίστοιχου B-N ρήγματος.

Figure 4. Sketch-map of the "Olynthos basin". Morphotectonic features of the N-S trending fault.



μήκεις, ανοιχτές, ώριμες κοιλάδες. (Μαρίνος Ι.Α. 1970). Η νοτιή συνέχεια ενός ρέματος, ΝΔ της Ποτίδαιας, κατά μήκος μιας εντυπωσιακής ευθείας ακτής (σχ. 3, περ. Η) και η απότομη εκτροπή από BBA σε ΒΔ ενός ρέμματος στη ΒΔ παρυφή της Σύβιρης (σχ. 3, περ. Θ), θεωρούνται στοιχεία που αντανακλούν, έμμεσα, τεκτονικές διεργασίες των οποίων θεωρούνται στην Ελλάδα από την αρχαιότητα μέχρι σήμερα.

**4) Νότια Κασσάνδρα** (Κασσανδρεία-Παλιούρι): κυριαρχεῖται από τον ψηφιδό ανάγλυφο με μικρές, σχετικά απότομες κοιλάδες (τύπου V) εκατέρωθεν του υδροκρίτη, που υπολοπείται από τον άξονα συμμετρίας της χερσονήσου (διεύθυνση ΔΒΔ-ΑΝΑ). Το υδρογραφικό δίκτυο παρουσιάζει σημαντική εκτροπή των καλάδων ρεμάτων ΒΔ-ΝΔ διεύθυνσης κατά μήκος μιας ΒΒΔ-ΝΝΑ διεύθυνσης (άξονες Καλλιθέας-Φούρκας-Ποσειδίου και Κρυοπηγής-Κασσανδρινού). Ανάλογη είναι η εκτροπή του κύριου καλάδου της ρέματος Κασσανδρινού-Φούρκας κατά την ΒΒΔ-ΝΝΑ διεύθυνση. Ακόμη, η απότομη πτώση του αναγλύφου κατά τον άξονα της Σκάλας Φούρκας-Καλλάνδρας (διεύθυνση ΔΒΔ-ΑΝΑ) και η ύπαρξη ενός επιμήκους βυθίσματος κατά μήκος του άξονα Καλλάνδρα-Ποσειδίου (διεύθ. Β-Ν) θεωρούνται δύο σχετιζόντας άμεσα με τετονικά γεγονότα. Επίσης η περιοχή Αγίας Παρασκευής παρουσιάζει μια ενδιαφέρουσα αναστροφή του αναγλύφου η οποία σε συνδυασμό με μια κλιμακωτή μετάπτωση σε δύο επίπεδα φρακτή βραχοθηκή Θεόφ



**Έκθιμα 3.** Χάρτης υδρογραφικού δικτύου της Δυτικής Χαλκιδικής. Α,Β,Γ,... γεωμορφολογικές περιοχές που αναφέρονται στο κείμενο.

**Figure 3.** Map of the drainage system of Western Chalkidiki.  
 A,B,C... geomorphological areas referent in the text.

αύξηση του υψηλέτρου (σχ. 3, περιοχή Ζ και σχ. 4). Σύγκριση της ανάπτυξης της "κοιλάδας της Ολύνθου" με άλλες αντίστοιχες που δημιουργήθηκαν από ρήγματα οριζόντιας μετατόπισης, (π.χ. Nielsen & Mc Laughlin 1985; Biddle & Christle-Blick 1985; κ.ά.). παρουσιάζει χαρακτηριστική ομοιότητα.

Η μορφολογία των ακτών δεν παρουσιάζει συγκεκριμένα στοιχεία τεκτονικής διαμόρφωσης εκτός ίσως από τον επιμήκη χαρακτήρα στην περιοχή N. Καλλικράτειας-N. Μουδανιών, ο οποίος έχει αποδοθεί (Kockel et al. 1977) σε ρηξιγενή επίδραση.

3) **Βόρεια Κασσάνδρα** (Ποτίδαια-Κασσανδρέα), χαρακτηρίζεται από ομαλό ανάγλυφο με ηλίσια περίπου 5° προς τα ΝΝΔ. Η βόρεια ακτή παρουσιάζει απότομη ηλίσια προς Β ενώ προς τα ΝΝΔ αναπτύσσονται επι-

διεύθετες, έμμεσα, σε τεκτονικές διεργασίες (σχ. 5).

5) **Θαλάσσιος χώρος:** από τη μελέτη του βυθομετρικού χάρτη οπήν ευρύτερη περιοχή, προκύπτουν ορισμένα ενδιαφέροντα στοιχεία που αφορούν τη μορφολογία του πυθμένα (σχήμα 5γ). Συγκεκριμένα, στα ανοιχτά της νότιας ακτής της Κασσάνδρας υπάρχει μια απότομη πτώση του αναγλύφου (διαφορά υψομέτρου περίπου 350 m) κατά μήκος ενός ορεινού ΒΔ-ΝΑ διεύθυνσης. Στην ίδια περιοχή υπάρχει και άλλη μικρότερη πτώση, αναγλύφου σε διεύθυνση ΒΒΑ-ΝΝΔ.

Τέλος η περιοχή του Τορωναίου κόλπου εμφανίζει χαρακτήρες στενής λεκάνης της οποίας οι πλευρές του στομίου προς το Αιγαίο εμφανίζονται σχετικά απότομες ενώ στον εσωτερικό χώρο παρουσιάζουν θιασιλή ακλίση. Θεωρείται ότι το ανάγλυφο στα νότια της Κασσάνδρας αντικατοπτρίζει ένα τεκτονικό γεγονός σημαντικού μεγέθους, το οποίο μάλιστα βρίσκεται πολύ κοντά στη ζώνη διάρρηξης της Τάφρου του Βορείου Αιγαίου και θα πρέπει να επηρεάζεται από τις διεργασίες σε αυτήν.

**Μορφολογία του προνεογενούς υποβάθρου:** στοιχεία από ανάλυση γεωφυσικών δεδομένων επέτρεψαν τη μελέτη της μορφολογίας του προνεογενούς υποβάθρου στην ευρύτερη περιοχή μελέτης:

Στην περιοχή του θερμαϊκού κόλπου η ανάλυση βαρυτομετρικών δεδομένων (Kiriakidis 1984) έδειξε ότι τα βαθύτερα σημεία του υποβάθρου βρίσκονται ανοιχτά των Μουδανιών (6 km) και του Ποσειδίου (8 km) σε μια γενικά στενή, επιμήκη λεκάνη της οποίας οι πλαγιές έχουν μέση ακλίση  $20^{\circ}$  από την πλευρά της Κασσάνδρας. Σε προχενέστερη εργασία (Lalechos & Savooyat 1979) καθορίσθηκε ότι ο πυθμένας του Νεογενούς βυθιζόταν προς τα Δ-ΝΔ (από την περιοχή της Κασσάνδρας προς το θερμαϊκό) και τα περιθώρια αυτού του βυθίσματος ήταν στις βρέσεις και δυτικές ακτές της Κασσάνδρας. Ο Kiriakidis (1984) συμφωνεί με αυτά τα περιθώρια του βυθίσματος και δίνει με περισσότερη λεπτομέρεια τη μορφολογία μέσα στο θερμαϊκό κόλπο (σχ. 6). Η ίδια γεωφυσική μελέτη διαπίστωσε ότι ο υποθαλάσσια στο βόρειο τμήμα του Τορωναίου κόλπου υπάρχει ένας οφειολιθικός δύκος, του οποίου η ανατολική επιφάνεια βρίσκεται σε βάθος 1 km. Έχει ελλειποειδές σχήμα και απότομη ανατολική πλευρά. Ο δύκος αυτός εμφανίζεται μετατοπισμένος δεξιά στροφα 15 km κατά την οριζόντια διεύθυνση προς Νότο (Kiriakidis; 1984), από άλλο επιμήκη δύκο που εκτείνεται στην περιοχή θεσσαλονίκης-Γεραεών. Εγκάρσια στους δύκους αυτούς διαπιστώνονταν ασυνέχειες ΔΒΔ-ΑΝΑ διεύθυνσης που ενδέχεται να σχετίζονται με τεκτονικές διεργασίες (σχ. 6).

#### ΠΑΡΑΤΗΡΗΣΕΙΣ ΣΤΗ ΡΗΞΙΓΕΝΗ ΤΕΚΤΟΝΙΚΗ ΤΗΣ Δ. ΧΑΛΚΙΔΙΚΗΣ (σχ. 7)

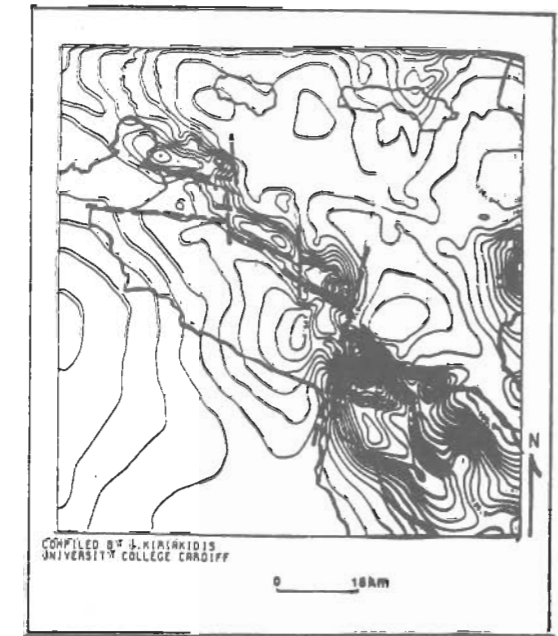
Η περιοχή μελέτης στη μεγαλύτερή της έκταση δεν εμφανίζει νεοτεκτονικές δομές μεγάλης ακλίμασης. Εμφανίζονται ρήγματα μικρής και μεσαίας ακλίμασης που χαρακτηρίζονται από μικρούς μήκους επιφανειακά μεσημέρια. Το άλμα των περισσότερων ορατών ρήγμάτων είναι της τάξης των 1-2 m, ενώ αργιάτου μεγέθους είναι η οριζόντια σχετική μετατόπιση που συμπερινέται από τις μορφοτεκτονικές παρατηρήσεις. Στις περισσότερες των περιπτώσεων τα ρήγματα αυτά επηρεάζουν σχηματισμούς από το Μειωκαντικό ως τις σημερινές αλλοιωτικές αποθέσεις, ενώ υπάρχουν και περιπτώσεις όπου περιορίζονται σε μειοπλειοκατινατικά ρήγματα. (Σχηματισμοί Αντωνίου, Τρίγλιας). Εμφανίζονται κυρίως σε ωργική λούσχους 120°. Η ακλίση των ρηξιγενών επιφανειών είναι  $50^{\circ}$ - $70^{\circ}$  και η κίνηση που παρατηρείται είναι κυρίως διεύθυνσης ακλίσης (dip slip) ( $\text{pitch } 60^{\circ}$ - $80^{\circ}$ ).

Επίσης εμφανίζονται διακλάσεις σε "ψαμμίτες" και διαγενοποιημένες άμμους (σχηματισμοί Τριλαβρόφου, Γωνιάς Μελιο-Πλεισθανού), σχεδόν κατακόρυφες και με τις προσωμοφρεθείσες διεύθυνσεις.

Στα περιθώρια της περιοχής μελέτης παρατηρείται η γεωφυσική Βιβλιοθήκη "Θεόφραστος" - Τμήμα του Ι.Π.Μ.Π.Μ.

**Σχήμα 6. Γεωφυσική προσομοίωση των κυριότερων γεωλογικών δομών στην ευρύτερη περιοχή μελέτης (από Κυριακίδη 1984).** Στο σχήμα έχουν προστεθεί με στικτές γραμμές οι θέσεις πιθανών μεγάλων ρηγμάτων.

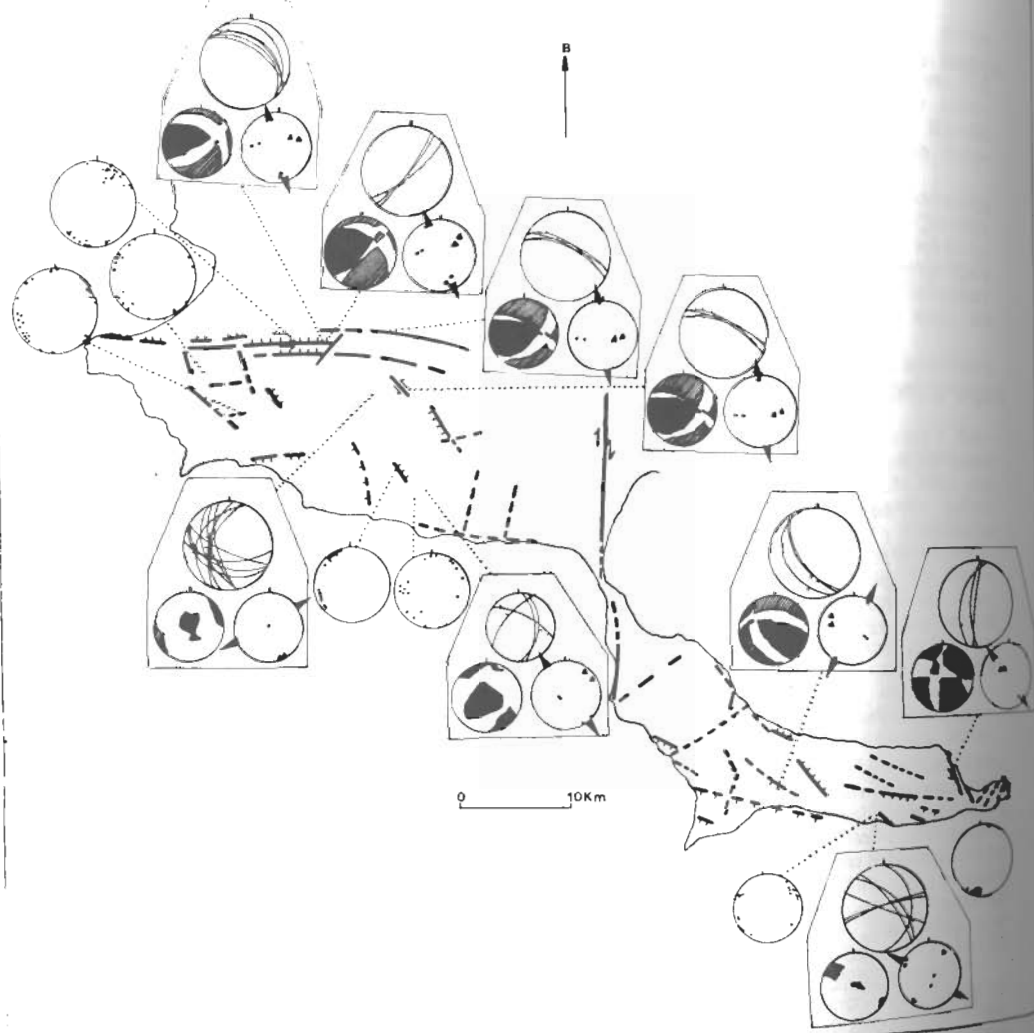
Fig. 6. Geophysical investigation of the main geological structures in the broader region (Kiriakidis 1984). Some possible faults have been also drawn.



νότιτας των εμφανιζόμενων ρηγμάτων, με μεγαλύτερο μήκος, μεγαλύτερη μετατόπιση των σχηματισμών εκατέρωθεν τους, ενώ η κίνηση γίνεται κυρίως διεύθυνσης (strike-slip) (pitch  $0^{\circ}$ - $40^{\circ}$ ). Απόφθη ως δομές αυτές αναπτύσσονται κατά μήκος των αξόνων διεύθυνσης ΤΗΣ ΑΙΓΑΙΟΥ ΚΑΙ ΝΑΥΑΡΙΤΗΣ, ιδιαίτερα όπου αυτή εμφανίζεται ευθέα και αδιάριτη. Αυτό αποτελεί μια ομονοιωτική ένδειξη ότι η παραμόρφωση της περιοχής μελέτης έχει περιστεί στην περιφέρεια, και έχει συμβάλλει στη διαμόρφωση αυτής της περιφέρειας, ενώ ο κύριος δύκος εμφανίζει μια ασθενή ενδοπαραμόρφωση. Ιδιαίτερο ενδιαφέρον παρουσιάζουν οι ακόλουθες περιφέρειές:

**Περιογή Ταγαράδων-Γαλαρινού** (νότιο ρήγμα Ανθεμούντα): μετρήσεις σε ρηξιγενείς επιφάνειες που οριοθετούν το αλπικό υπόβαθρο (Κρητιτιθοίς ασβεστόλιθοι, γρανίτης Μονοπήγαδου) από τα νεογενή ιζήματα, παρουσιάζουν κίνηση διεύθυνσης ολίσθησης ακλίσης (pitch  $20^{\circ}$ - $45^{\circ}$  ΒΔ), και παράταξη ΔΒΔ-ΑΝΑ. Ενδιαφέρουσα είναι η διάταξη αυτών των ρήγμάτων στο χάρτη (σχ. 7) όπου εμφανίζεται μια δεξιά στροφή ακλιστή διάταξη από τα ΝΑ προς τα ΒΔ (right stepping). Η διάταξη αυτή αναφέρεται σαν χαρακτηριστική εξέλιξη μιας ζώνης ρηγμάτωσης οριζόντιας μετατόπισης (Christie & Blick 1985). Η εξάπλωση των δομών αυτών μέχρι και τις παρυφές των αλλοιωτικών αποθέσεων δημιουργείται στο μακρύ αποσάθρωσης του γρανίτη αποτελεί ένδειξη για το χρόνο της τεκτονικής δραστηριότητας, που χαρακτηρίζεται ως πολύ πρόσφατη. Ένα ακόμη χαρακτηριστικό είναι η αύξηση της ακλίσης διεύθυνσης ακλίσης (pitch  $60^{\circ}$ - $70^{\circ}$ ) καθώς και η κυριαρχία της κίνησης διεύθυνσης ακλίσης (pitch  $65^{\circ}$  ΒΔ) που αντικατοπτρίζει το πιο πρόσφατο στάδιο τεκτονισμού.

**Περιογή Ταγαράδων-Α.Π.Θαδού:** σε μικρού πάχους εμφάνιση ερυθροστρωμάτων,



**Σχήμα 7.** Λεπτομερής τεκτονικός χάρτης της Δυτικής Χαλκιδικής όπου φαίνονται τα κύρια ρήγματα που διαμορφώνουν τη μορφολογία της περιοχής (συνεχή γραμμή), τα πιθανά ρήγματα (στικτή γραμμή) και οι αντίστοιχες στερεογραφικές τους προβολές (ρήγματα ως μέγιστοι κύκλοι, τεκτονικές γραμμώσεις ως βέλη, διακλάσεις ως πόλοι). Οι διευθύνσεις του  $\sigma_3$  φαίνονται με μεγάλα μάυρα βέλη.

Figure 7. Detailed tectonic map of the western Chalkidiki showing the main faults which control the topography of the area (as heavy lines), the possible faults (dot lines) and the measured structures on stereographic projections (faults as curves, striation as small arrows, joints as poles). Calculated  $\sigma_3$  axes are shown with heavy arrows.

('Ανω Μειόναινο ?) παρατηρήθηκε ένα ζεύγος ρηγμάτων με φαινομενικά ανάστροφο χαρακτήρα. Διαπιστώθηκαν δύο χαρακτήρες, ένας ανάστροφος (pitch  $45^\circ$  N) και ένας οριζόντιας μετατόπισης (pitch  $0^\circ$ - $22^\circ$  B) με αριστερόστροφη συνιστώσα. Οι επιφάνειες έχουν μια μέση ακλίση  $50^\circ$  προς τα ΝΔ και παράταξη ΒΔ-ΝΑ. Οι δομές αυτές επηρεάζουν και τα υπερκινέμενα στρώματα.

**Περιοχή Κ. Σχολαρίου:** εμφανίζονται μικρά ρήγματα με παράταξη ΒΒΔ-ΝΝΑ με κανονική συνιστώσα κίνησης (pitch  $80^\circ$  NA) και ακλίση  $70^\circ$  προς Α σε ερυθροστρώματα του σχηματισμού Τρίγλιας (Μ. - Α. Μειόναινο). Στην ρηγιγενή επιφάνεια έχει σχηματισθεί κατακλαστίτης από αργιλλικό υλικό.

**Περιοχή Πολύχρονου:** παρατηρήθηκε επίσης μικρό ρήγμα το οποίο μετατοπίζει ορίζοντα λευκής αργιλλού ανάμεσα σε μειόναινικές άμμους, με παράταξη ΔΒΔ-ΑΝΑ. Επηρεάζει και το υπερκείμενο στρώμα εδάφους (στοιχείο ενεργού δράσης).

**Περιοχή Κασσανδρινού:** παρατηρήθηκαν ρήγματα σε αργιλλικό υλικό (Μ. Μειόναινο) με παράταξη ΒΒΔ-ΝΝΑ, με κίνηση διεύθυνσης ολίσθησης κανονική (pitch  $40^\circ$ - $65^\circ$ ) και ακλίση  $60^\circ$  προς ΔΝΔ. Ακόμη μια παρόμοια δομή φέρνει σε επαφή άμμους με πρόσφατο υλικό, ένδειξη ενεργού τεκτονισμού. Η δομή αυτή διακρίνεται στις αεροφωτογραφίες με σημαντικός μήκος.

**Περιοχή Παλιουρίου:** παρατηρήθηκαν γραμμώσεις σχεδόν οριζόντιες με δεξιόστροφο χαρακτήρα σε ιρητιδικούς ασβεστόλιθους σε επιφάνεια με ακλίση  $65^\circ$  προς Δ και παράταξη Β-Ν. Το ρήγμα αυτό διασταύρωνται με άλλο μικρότερου μήκους και παράταξης ΔΒΔ-ΑΝΑ και φαίνεται ότι είναι υπεύθυνο για τη δημιουργία της μικρής ανοικτής κοιλάδας προς τα Α αποτελώντας και πιθανό τεκτονικό δρόμο μεταξύ του οφειολιθικού συμπλέγματος και του ασβεστόλιθου.

Στη θαλάσσια περιοχή ανοικτά της Κασσανδρας (προς Ν) η απότομη πτώση του αναγλύφου μπορεί ν' αποδοθεί σε ρηγιγενείς διεργασίες (διεύθυνσης ΒΔ-ΝΑ) σχετιζόμενες πιθανότατα με την εξέλιξη της τάφρου του Β. Αιγαίου. Τέλος, η επεξεργασία γεωφυσικών δεδομένων προσανατολίζει στην ύπαρξη ρηγιγενούς δομής ανοικτά της Ν. Καλλιεράτειας δύπως επίσης και στην περιοχή της Ολύνθου (μεγάλου μεγέθους δεξιόστροφη μετατόπιση του οφειολιθικού συμπλέγματος -και κάποια μικρή αριστερόστροφη περιστροφή του- κατά τη διεύθυνση Β-Ν (σχ. 6)). Η τελευταία απεικονίζεται πολύ καθαρά σε δορυφορικές φωτογραφίες της ευρύτερης περιοχής όπως και σε Α/Φ και αποτελεί τη σημαντικότερη δομή στην ευρύτερη περιοχή με δεύτερη τη δομή της περιοχής Σουρωτής-Ταγαράδων (ρήγμα Ανθεμούντα).

#### ΠΡΟΣΔΙΟΡΙΣΜΟΣ ΤΟΥ ΠΕΔΙΟΥ ΤΩΝ ΤΑΣΕΩΝ

Η ποσοτική ανάλυση των στοιχείων ρηγιγενών επιφανειών οδήγησε στον προσδιορισμό του χαρακτήρα του πεδίου των τάσεων στην περιοχή. Χρησιμοποιήθηκαν η μέθοδος των ορθών διέδρων γωνιών (Angleier & Mechler 1977) η μέθοδος του μέσου καλύτερου τανυστή τάσης και P/T σενών (Cary & Brunier 1974, Caputo & Caputo 1988). Τα αποτελέσματα παρουσιάζονται στο σχήμα 7. Φαίνεται ότι κυριαρχεί ένα εφελκυστικό πεδίο με διεύθυνση του άξονα ελάχιστης τάσης σ3 Β-Ν μέχρι ΒΒΔ-ΝΝΑ, που διέπει την πρόσφατη και ενεργό τεκτονική ενώ εφελκυσμός σε διεύθυνση ΒΒΔ-ΝΝΔ φαίνεται ότι διέπει την παλαιότερη τεκτονική κατά το Μειόναινο ή και Πλειόναινο. Στο ίδιο σχήμα απεικονίζονται μαζί με τις κύριες δομές της περιοχής και το πεδίο των τεκτονικών τάσεων, δύο προηγύπτει από την ποσοτική και ποιοτική ανάλυση των διευθύνσεων των νεοτεκτονικών ρηγμάτων, των γραμμώσεων τεκτονικής και κλίσεων των νεοτεκτονικών ρηγμάτων, των γραμμώσεων τεκτονικής ολισθησης και των διακλάσεων.

**ΣΥΜΠΕΡΑΣΜΑΤΑ ΓΙΑ ΤΗ ΣΥΝΟΛΙΚΗ ΝΕΟΤΕΚΤΟΝΙΚΗ ΕΞΕΛΙΞΗ ΤΟΥ ΒΥΘΙΣΜΑΤΟΣ ΑΞΙΟΥ-ΘΕΡΜΑΙΚΟΥ ΚΑΙ ΤΗΝ ΕΝΕΡΓΟ ΤΕΚΤΟΝΙΚΗ ΤΗΣ Α. ΧΑΛΚΙΔΙΚΗΣ**

Το μεγάλο βύθισμα Αξιού-Θερμαϊκού Κόλπου κατά βάση εντάσσεται στον ευρύτερο χώρο μιας μολασσικής αύλακας της λεγόμενης "Παλαιογενούς αύλακας Αξιού" (Μουντράκης 1985) η οποία λειτουργούσε ήδη από το Ηώνιανο στο χώρο μεταξύ Πελαγονικής ζώνης και Σερβομακεδονικής μάζας (Mercier 1968). Ήδη από την περίοδο Ηωνίου-Ολιγοκαίνου λειτουργούσε άποιο εφελκυστικό πεδίο στο χώρο αυτό και είχε ως αποτέλεσμα τη συνεχή βύθιση και διαμόρφωση της αύλακας αυτής.

Υπάρχουν σαφή στοιχεία για τη συνέχιση της δράσης του εφελκυστικού αυτού πεδίου και από γεωφυσικές μελέτες. Ο Kiriakidis (1984) συγκεκριμένα εντοπίζει συνιζηματογενή λιστρωτά ρήγματα (listric faults) της περιόδου Ηωνίου-Ολιγοκαίνου καθώς και ένα σημαντικό αχρονολόγητο συμβάν στην επαφή Νεογενών σχηματισμών και προνεογενούς υποβάθρου. Η εφελκυστική διαδικασία επομένως συνεχίστηκε από την περίοδο εκείνη (ίσως συνεχώς) για τη συγκεκριμένη αυτή περιοχή μέχρι τους νεοτεκτονικούς χρόνους. Ο Συρίδης (1990) με ιζηματολογικά-παλαιοτολογικά στοιχεία αναφέρεται επίσης στη δημιουργία ενός επιμήκους βυθίσματος στο χώρο αυτό κατά το Κάτω-Μέσο Μειδιανό, βύθισμα το οποίο μάλιστα περιορίζεται στα νότια από αναδυμένη ξηρά.

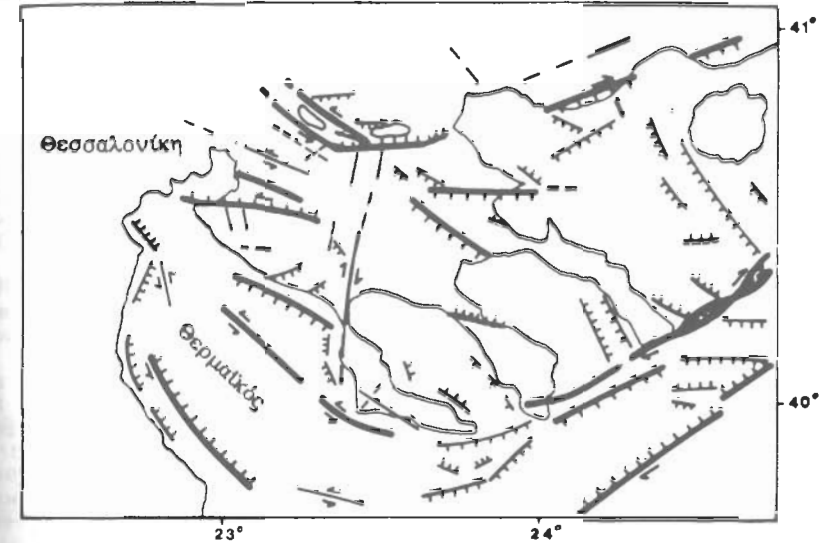
Είναι επομένως μάλλον σαφές ότι η μολασσική "Παλαιογενής αύλακας Αξιού" εξελίχθηκε με την επίδραση της εφελκυστικής τεκτονικής, που έδρασε κατά διεύθυνση BA-ΝΔ, στο βύθισμα Αξιού-Θερμαϊκού κόλπου που είχε από τότε την επιμήκη αυτή ΒΔ-ΝΑ διεύθυνση (σχ. 1). Η οριστική βέβαια μορφή του βυθίσματος ολοκληρώθηκε με τη συνέχιση της εφελκυστικής τεκτονικής στο Πλειστοκαίνοιο όπότε απομονώθηκε από τον Τορωναίο Κόλπο.

Συμπερασματικά επομένως μπορούμε να πούμε ότι τα μεγάλα κανονικά ρήγματα των οπίων η επιφάνεια καμπυλώνεται με το βάθος (listric) έπαιξαν κυριαρχό ρόλο στην εξέλιξη του βυθίσματος, το οποίο φαίνεται ότι είχε μια συνεχή εξέλιξη, με δύο κύριους σταθμούς της νεοτεκτονικής της δημιουργίας, το Μέσο-Πλειστοκαίνοιο και Μέσο Πλειστοκαίνο. Η παλαιότερη φάση εφελκυσμού που υπολογίζεται για την περιοχή μελέτης είχε διεύθυνση του ελάχιστου άξονα τάσης ( $\sigma_3$ ) BA-ΝΔ. Η χρονολόγηση της δεν είναι απόλυτα ακριβής, πιθανό να συνδέεται με αιώνια παλαιότερες εφελκυστικές φάσεις (Ηωνίου-Ολιγοκαίνου). Στην περιοχή μελέτης, φαίνεται να επηρεάζει ελάχιστα τους νεότερους Ιζηματογενείς σχηματισμούς, γιατού και χαρακτηρίζεται σαν Μεσομειοκαίνικης-Πλειστοκαίνικής ηλικίας (?).

Στην περιοδο του Πλειστοκαίνου με την επίδραση της συνεχιζόμενης εφελκυστικής διαδικασίας, με τροποποιημένη όμως διεύθυνση του άξονα ελάχιστη σε-τάσης σε Β-Ν, προκαλεί τον εγκάριτο τεμαχισμό του βυθίσματος Αξιού-Θερμαϊκού με ρήγματα διεύθυνσης γενικά Α-Δ (σχ. 1). Το ρήγμα του Ανθεμούντα και τα μικρότερα ρήγματα αυτής της διεύθυνσης στο νότιο άκρο της χερσονήσου της Κασσάνδρας εντάσσονται στην τεταρτογενή δράση της εφελκυστικής τεκτονικής του ευρύτερου Βορειοελλαδικού χώρου.

Ενδιαφέρον από σεισμοτεκτονική άποψη, έχει η ενεργός τεκτονική κατάσταση της περιοχής. Η σεισμική ιστορία της παρουσιάζεται εξαιρετικά ήσυχη με δύο μόνο ουμάντα (479 π.Χ. - 1923 μ.Χ.) τα επώκεντρα των οπίων βρίσκονται σε σημαντική απόσταση από τη χερσόνησο προς τα ΝΔ (Παπαζάχος & Παπαζάχου 1989). Η Δυτική Χαλκιδική παρουσιάζεται σαν μια σχετικά αδιατάρακτη τεκτονικά περιοχή σε σχέση με της γύρω περιοχές (Θερμαϊκός, Τάφρος Βορείου Αιγαίου, Σερβομακεδονική θερμότητας Ζώνη) και κατά συνέπεια λιγότερο ενεργή σήμερα αν και φαίνεται σαν ένα ενιαίο μπλοκ. Ορισμένες κύριες δομές (σχ. Φλόγαρη Βιβλογράφης Α.Π.Θ. Έντεκα Τεκτονικές δομές της Α. Χαλκιδικής) και μικρότερα τεμάχια με διαφορετική τεκτονική βρίσκονται σε μικρότερα τεμάχια με διαφορετική τεκτονική

μορφολογική συμπεριφορά. Αν και η περιοχή μελέτης, όπως και άλλος χώρος του Β. Αιγαίου, βρίσκεται κάτω από την επίδραση ενός ΒΒΔ-ΝΝΑ διεύθυνσης πρόσφατου έως ενεργού εφελκυστικού πεδίου, φαίνεται ότι η παραμόρφωση είναι πολύ μικρή σε σχέση με τις γύρω περιοχές (Mountrakis et al. 1983, Papazachos et. al. 1984) και οι κύριες τεκτονικές δομές βρίσκονται στην περιφέρεια.



**Σχήμα 8. Τεκτονικός χάρτης της ευρύτερης περιοχής μελέτης (χρησιμοποιήθηκαν δεδομένα από Martin 1987, Pavlides & Kiliias 1987 και Pavlides et al. 1990).**

**Figure 8. Tectonic sketch-map of the broader region data from Martin 1987; Pavlides & Kiliias 1987 and Pavlides et al. 1990 have been used).**

Οι Kockel et al. (1977), Mercier et al. (1983) και κυρίως Pavlides et al. (1990) παρουσιάζουν δοτοιχεία για την ύπαρξη στην ευρύτερη περιοχή μιας σημαντικής συνιστώσας οριζόντιας μετατόπισης, ενώ οι Pavlides & Soulakelis (1991) υποστηρίζουν την πολυπλοκότητα των διαρρήξεων στη Μυγδονία λεκάνη και ότι κυριαρχεί η ΒΔ-ΝΑ διεύθυνση και ακολουθούν η ΒΑ-ΝΔ και Α-Δ. Η οριζόντια μετατόπιση έχει αριστερόστροφο χαρακτήρα για τις δομές με διεύθυνση ΒΔ-ΝΑ και δεξιόστροφο για τις δομές με διεύθυνση ΒΑ-ΝΔ. Η ύπαρξη της οριζόντιας συνιστώσας είναι από τη μια πλευρά, ονόματη προς το γενικό πεδίο των τάσεων, αλλά είναι πιθανό να σχετίζεται με διεργασίες της σημαντικής ρηγμάτων ζώνης δεξιόστροφης οριζόντιας μετατόπισης της Τάφρου του Β. Αιγαίου (Pavlides et al. 1990).

Τα μέχρι τώρα δεδομένα δεν δείχνουν την ύπαρξη σημαντικών ενεργειακών δομών στην περιοχή. Μόνο στο βόρειο δριό της, την κοιλάδα του Ανθεμούντα, όπου και το γνωστό γεωθερμικό πεδίο, το μεγάλο ρήγμα του Ανθεμούντα, διεύθυνσης Α-Δ, παρουσιάζει βάσιμα στοιχεία για πρόσφατη και ενεργή δράση. Το ρήγμα αυτό, που βρίσκεται πολύ κοντά στο πολεο-

λεπτομερέστερη μελέτη, παλαιοσεισμολογική κυρίως.

Άλλη ενδιαφέρουσα μεγάλη τεκτονική δομή της περιοχής, με νεοτεκτονική δράση, αποτελεί το ρήγμα της Ολύνθου με διεύθυνση Β-Ν και κίνηση οριζόντιας μετατόπισης. Τέλος, ιδιαίτερα ενεργός εμφανίζεται ο Τορωναίος Κόλπος, δύο σύμφωνα με τη μελέτη μικροσεισμικών ακολουθιών (Scordilis 1991), φαίνεται ότι μια σειρά παράλληλων, συνθετικών και αντιθετικών, μικρών σχετικά ρηγμάτων ΒΒΔ-ΝΝΑ διεύθυνσης, ορίζει το βύθισμα του Τορωναίου κόλπου. Ειδικές γεωφυσικές μελέτες, χερσαίες και θαλάσσιες θα μπορούσαν να προσκομίσουν χρήσιμα στοιχεία για την καλύτερη αξιολόγηση του σεισμοτεκτονικού δυναμικού της περιοχής, διότι δεν μπορεί να αποκλεισθεί η ύπαρξη κάποιου μεγάλου ενεργού ρήγματος.

#### ΒΙΒΛΙΟΓΡΑΦΙΑ

- ANGELIER, J. and MECHLER, P. (1977). Sur une methode graphique de recherche des contraintes principales également utilisable en tectonique et en seismologie. *Bull. Soc. Geol. Fr.*, 19, 6, 1309-1318.
- BIDDLE, K.T. and CHRISTIE-BLICK, N. (1985). Glossary, in: *Strike-slip deformation, basin formation and sedimentation*, ed. by Biddle, K.T. and Christie-Blick, N., SEPM Spec. publ., No. 37, p. 377.
- CAPUTO, M. and CAPUTO, R. (1988). Structural analysis: new analytical approach and applications. *Ann. Tectonicae*, II, 2, 84-89.
- CAREY, E. and BRUNIER, B. (1974). Analyse theorique et numerique d'un modèle mécanique élémentaire appliquée à l'étude d'une population de failles. *C.R. Acad. Sci. Fr.*, 279, 891-894.
- ΓΑΡΔΙΚΑΣ, Χ. (1934). Συμβολή στη γεωλογική έρευνα της Χαλκιδικής χερσονήσου. I. Ανεύρεσις Παλαιογενούς επί της Νοτιοανατολικής Κασσανδρείας. *Εργ. Ορυκτ. Γεωλ. Πετρολ. Παν. Θεσσαλονίκης* 4.
- CHRISTODOULOU, A. and HATZFELD, D. (1988): Three-dimensional crustal and upper mantle structure beneath Chalkidiki (northern Greece), *Earth Plan. Sci. Lett.*, 88, 153-168.
- I.G.E.Y. (1969a). Γεωλογικός χάρτης της Ελλάδας 1:50.000 φύλλο Επανωμή υπό Λαλεχού, N., Bizon, G., Αθήνα.
- I.G.E.Y. (1969b). Γεωλογικός χάρτης της Ελλάδας 1:50.000. Χεροδηνήσος Κασσανδρας υπό Guy, M., Μπορνόβα, I., Bizon, J., Bizon, G., Αθήνα.
- I.G.M.E. (1978). Γεωλογικός χάρτης της Ελλάδας 1:50.000 φύλλο Βασιλικά υπό Mollat, H., Αντωνιάδη, Π., Χριστοδούλου, Γ., Παργινό, Δ., Κουρμούλη, Ν., Αθήνα.
- KIRIAKIDIS, L.G. (1984). Geophysical studies of the eastern margin of the Vardar Zone in Central Macedonia, Greece. Ph.D. Thesis, Univ. of Wales, pp. 372.
- KOCKEL, F., MOLLAT, H., WALTHER, H. (1977). Geologischen Karte des Chalkidiki und angrenzender Gebiete in 1:100.000 (Nord-Griechenland). Bundesanstalt fuer Geowissenschaften und Rohstoffe Erl., 119 S., 4 Abb., 5 Tab., 1 Taf., 1 Kt. in 4 Bl., Hannover.
- LALECHOS, N. and SAVOYAT, E. (1979). La sedimentation Neogène dans le Fosse Nord Egee. 6th Colloquium of the Aegean Region, 2, 591-603.
- LALECHOS, N. (1986). Correlation and observations in molassic sediments in onshore and offshore area of Northern Greece. *Oryktos Ploutos* 42, 7-34.
- MARINOS, Γ., ΣΑΚΕΛΛΑΡΙΟΥ-MANE, E., ΣΩΤΗΡΙΑΔΗΣ, Λ., και ΣΑΠΟΥΝΤΖΗΣ, H., (1970). Επί της παλαιογεωγραφίας της Βορειοδυτικής Θεοφραστού" - Τμήμα Γεωλογίας Α.Π.Θ.

- MARTIN, L. (1987). Structure et Evolution Recente de la Mer Egee, apports d'une étude par sismique reflexion. These de doct., Univ. Paris 6, 305 pp.
- MERCIER, J., (1968). Etude géologique des zones internes des Hellenides en Macédoine centrale. Contribution à l'étude du métamorphisme et de l'évolution magmatique des zones internes des Hellenides. *Ann. Geol. Pays. Hell.* 20, 1-738.
- MERCIER, J.L., CAREY-GAILHARDIS, E., MOUYARIS, K., SIMEAKIS, K., RONDOYANNIS, T. and ANGHELIDIS, C. (1983). Structural analysis of recent and active faults and regional state of stress in the epicentral area of the 1978 Thessaloniki earthquakes (Northern Greece). *Tectonics*, 2, 577-600.
- MOYNTPAKΗΣ, Δ., (1985). Γεωλογία της Ελλάδας. University Studio Press., Θεσσαλονίκη, 207 σ.
- MOUNTRAKIS, D., PSILOVIKOS, A. and PAPAZACHOS, B.C., (1983). The Geotectonic Regime of the 1978 Thessaloniki Earthquakes. The Thessaloniki, Northern Greece, earthquake of June 20, 1978, and its seismic sequence. Techn. Chamber Greece, Section of Central Macedonia, 11-27.
- NILSEN, T.H. and McLAUGHLIN, R.J. (1985). Comparison of tectonic framework and depositional patterns of the Hornelen strike-slip basin of Norway and the Little Sulphur Greek strike-slip basins of California, in Biddle, K.T. and Christie-Blick, N. (eds.): *Strike-slip deformation, basin formation and sedimentation*, SEPM Spec. Publ., No 37, 79-103.
- PAPAZACHOS, B., MOUNTRAKIS, D., PSILOVIKOS, A. and LEVENTAKIS, G. (1979). Surface fault traces and fault plane solutions of the May-June 1978 major shocks in the Thessaloniki area, Greece. *Tectonophysics*, 53, 171-183.
- ΠΑΠΑΖΑΧΟΣ, Β.Κ. και ΠΑΠΑΖΑΧΟΥ, Κ. Οι σεισμοί της Ελλάδας, Εκδ. Ζήτη, Θεσσαλονίκη 1989, 356 σελ.
- PAPAZACHOS, B.C., KIRATZI, A.A., VOIDOMATIS, P.S. and PAPAIOANNOU CH.A (1984). A study of the December 1981-January 1982 seismic activity in northern Aegean Sea, *Boll. Geof. Teor. Appl.* 26, 101-113.
- PAVLIDES, S.B. and KILIAS, A.A. (1987). Neotectonic and active faults along the Serbomacedonian Zone (SE Chalkidiki, Northern Greece), *Ann. Tectonicae* I, n2; 97-104.
- PAVLIDES, S.B., MOUNTRAKIS, D., KILIAS, A.A. and TRANOS, M. (1990). The role of strike-slip movements in the extensional area of Northern Aegean (Greece): A case of transtensional tectonics. *Ann. Tectonicae*, IV., n2, 196-211.
- PAVLIDES, S. and SOULAKELLIS, N (1991). Multifractured seismogenic area of Thessaloniki 1978 earthquake (Northern Greece). *Proc. IESCA-90 Izmir, Turkey*, II, 64-75.
- ΨΙΛΟΒΙΚΟΣ, Α., ΣΥΡΙΔΗΣ, Γ., και ΧΑΧΑΜΙΔΟΥ, Ε., (1988). Παράκτια φαινόμενα στη χερσόνησο Κασσανδρα της Χαλκιδικής, Δελτίο Ελλ. Γεωλ. Εταιρ. XX, 325-339, Αθήνα.
- SCORDILIS, E.M. (1990). Seismic Activity in the Kassandra Gulf (Northern Greece). *Bull. Geol. Soc. Greece*. XXV/3, 295-311. Proc. 5th Congr.
- ΣΥΡΙΔΗΣ, Γ.Ε. (1990). Λιθοστρωματογραφική, βιοστρωματογραφική και παλαιογεωγραφική μελέτη των Νεογενών-Τεταρτογενών Ιζη-ματογενών σχηματισμών της χερσονήσου Χαλκιδικής. Διδ. διατ. Επετ. Τμήμα Γεωλογίας ΑΠΘ, παράρτημα 1., 230 σελ.
- SOTIRIADIS, L. (1974). Die geomorphologie des tales von Anthemous (Griechisch Makedonien). *Ann. Mus. Goulandris* 2, 141-163, Athens.